

1 / 12

002200" 99949900

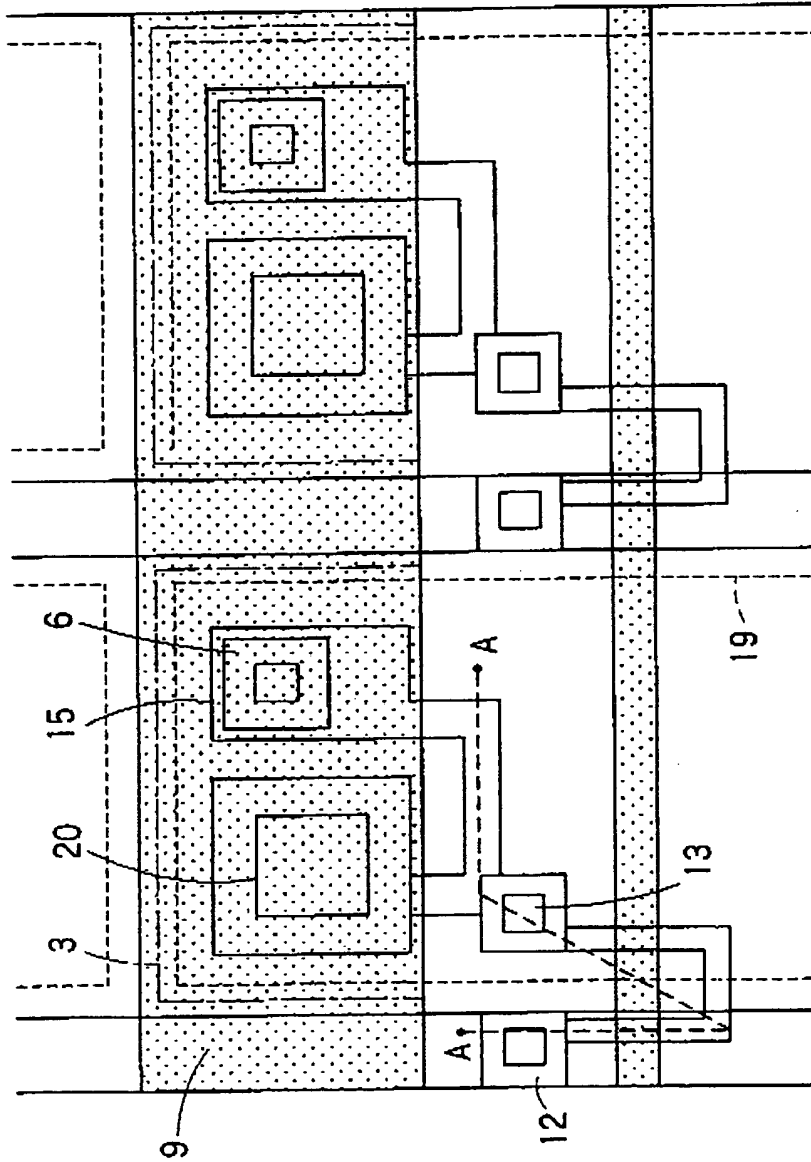


FIG. 1

2/12

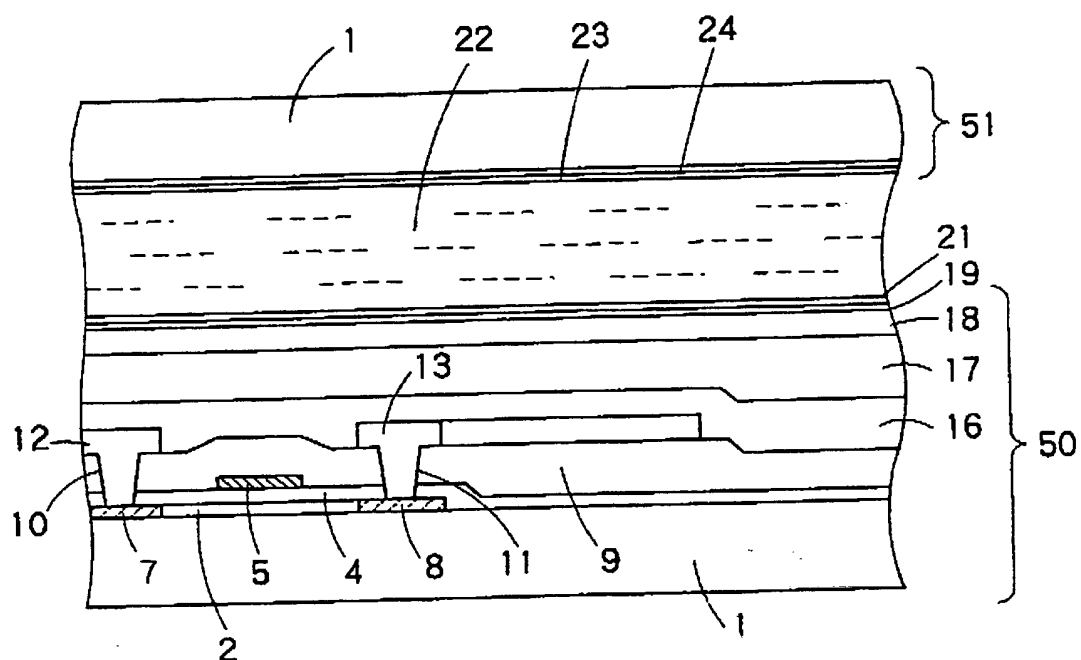


FIG. 2

3 / 12

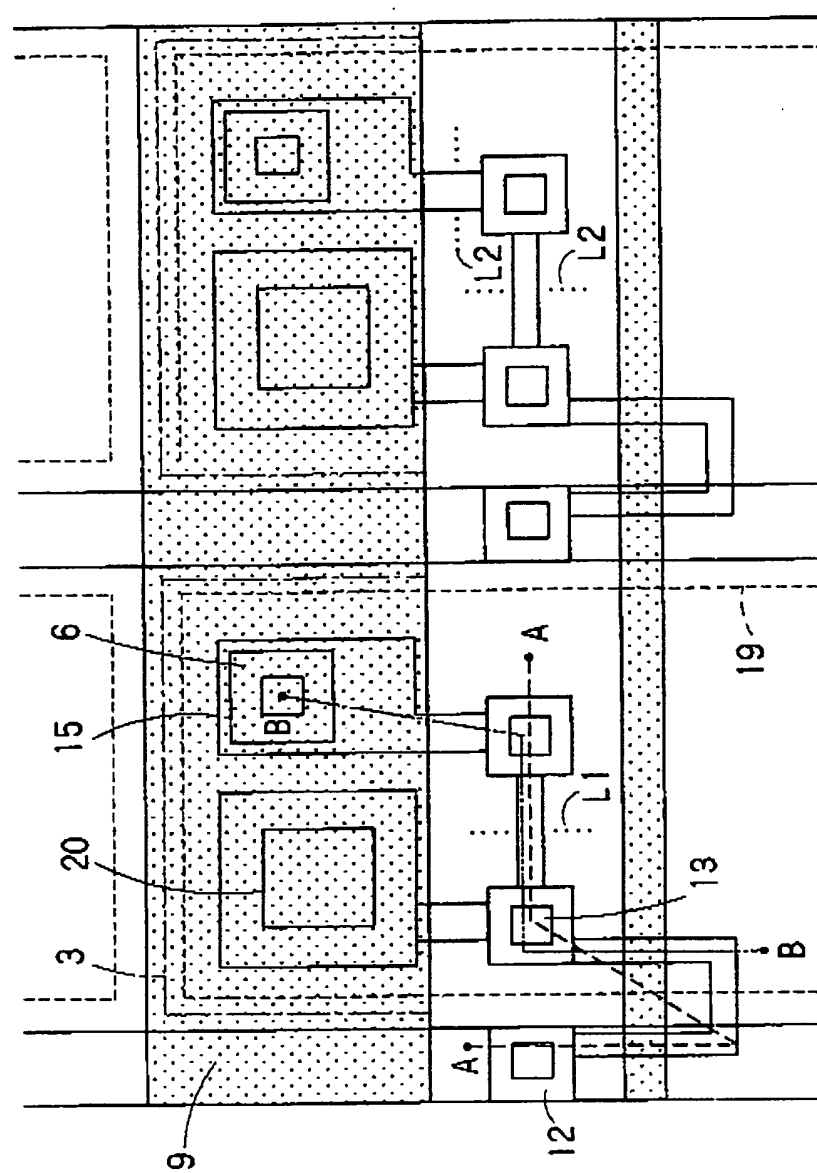


FIG. 3

002260 95529500

4 / 12

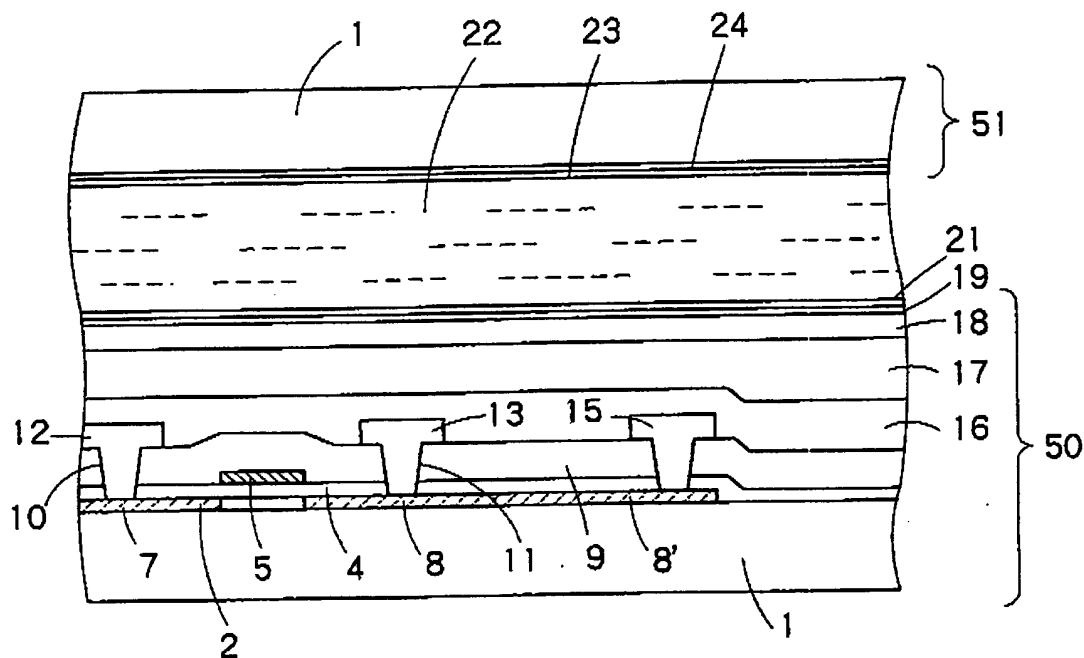


FIG. 4

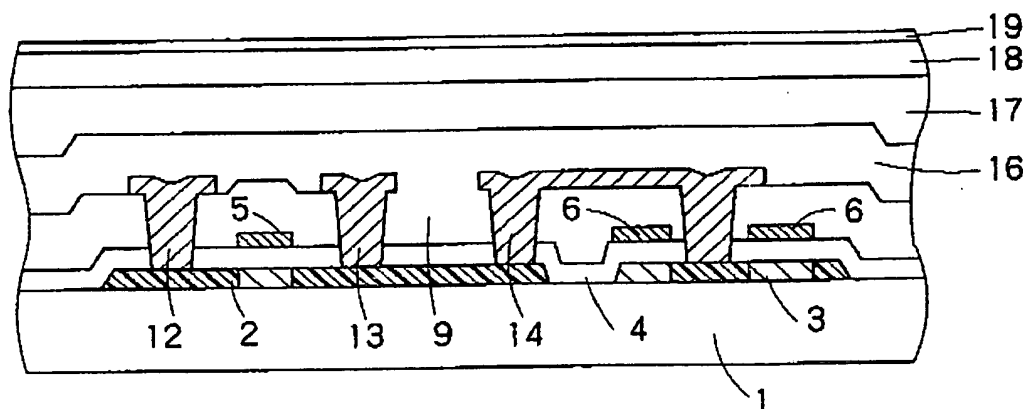


FIG. 5

002660 99529960

5/12



FIG. 6A

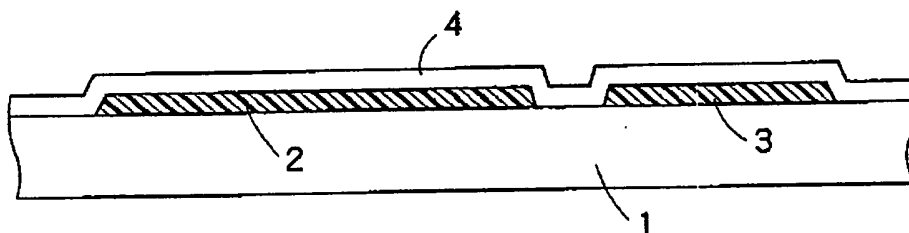


FIG. 6B

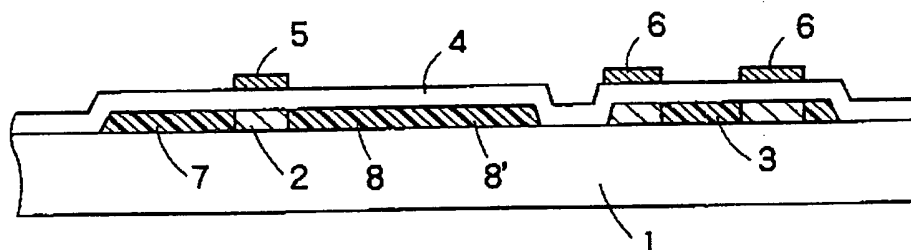


FIG. 6C

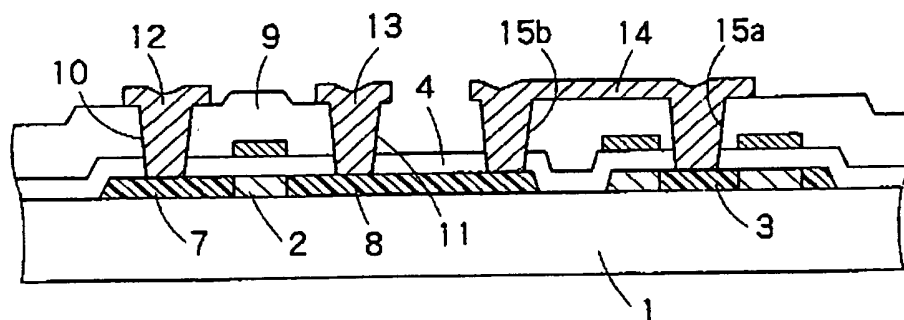


FIG. 6D

002260 99929960

6 / 12

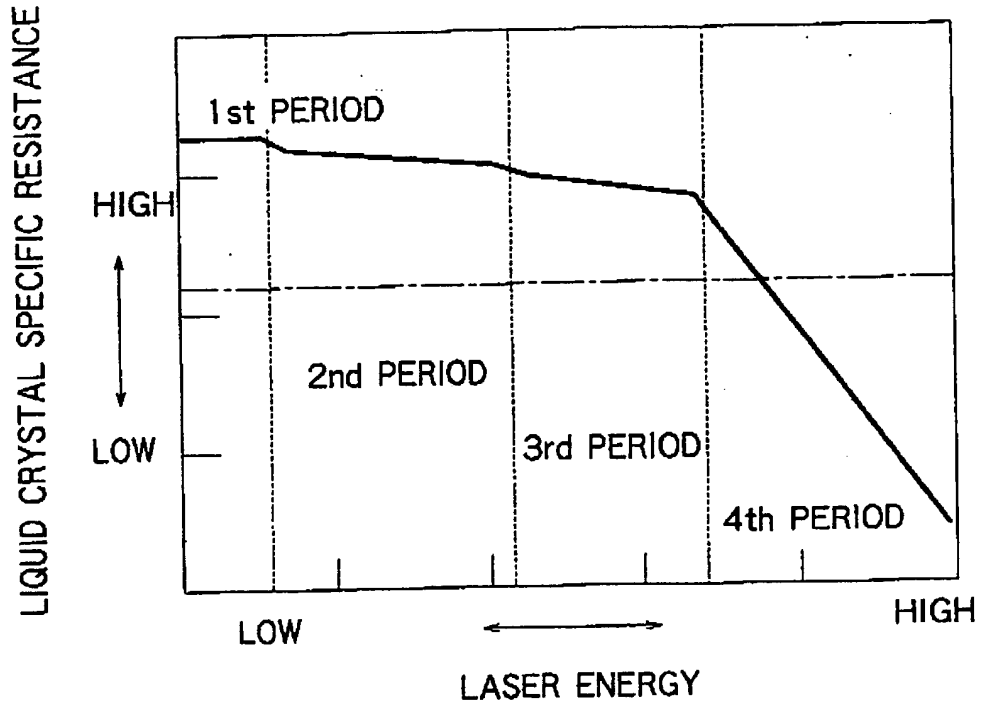


FIG. 7

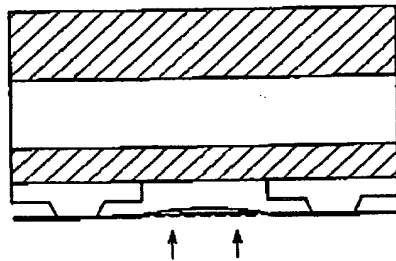


FIG. 8A

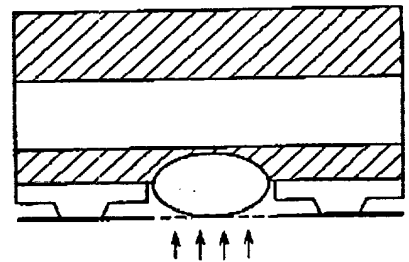


FIG. 8C

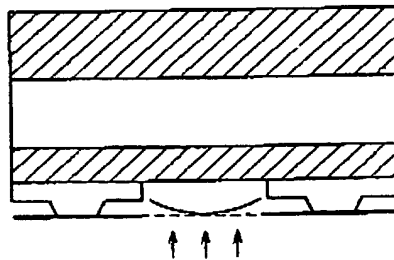


FIG. 8B

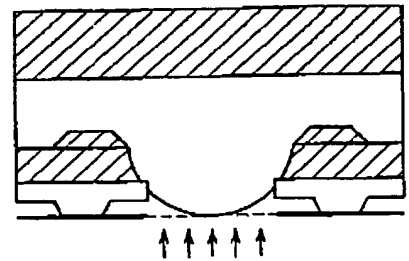
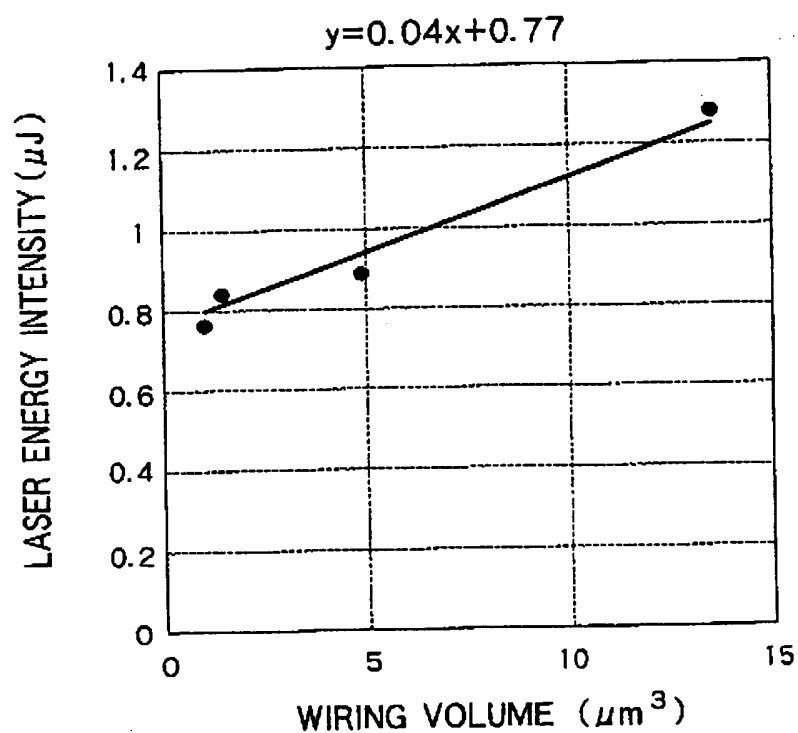


FIG. 8D

7 / 12



DEPENDENCE OF LASER ENERGY INTENSITY  
ON WIRING VOLUME

FIG. 9

000000 99525500

8 / 12

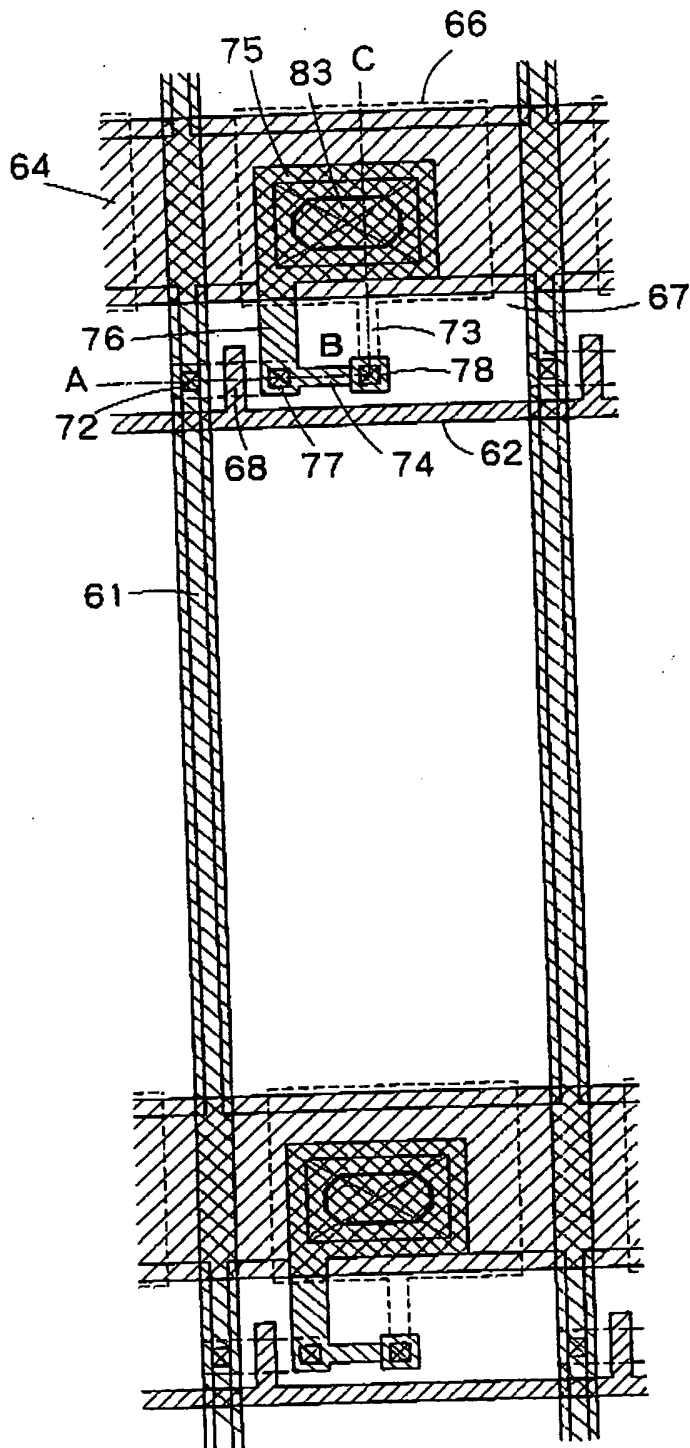


FIG. 10



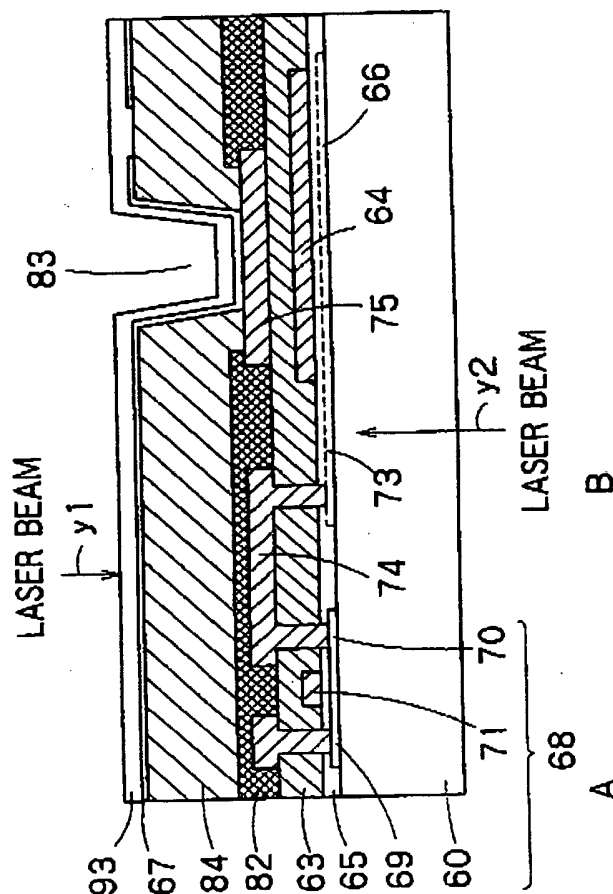
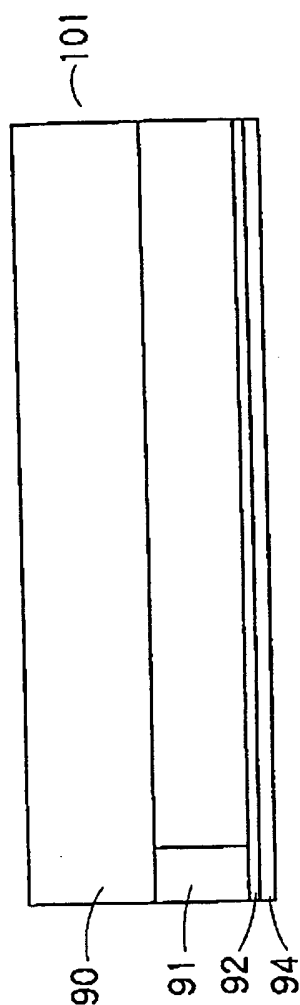


FIG. 11

[illegible]

11 / 12

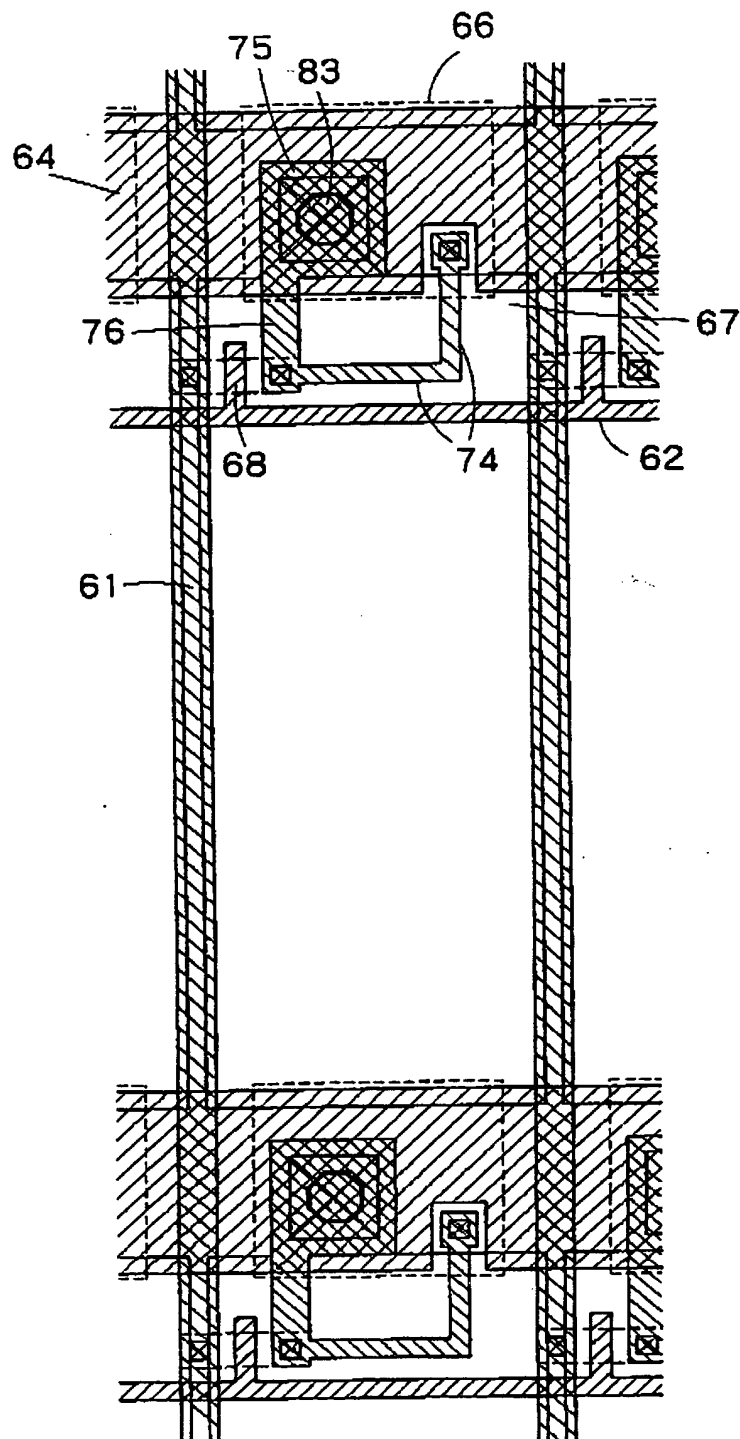


FIG. 14

002260 99929960

12 / 12

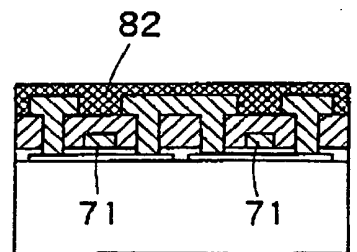
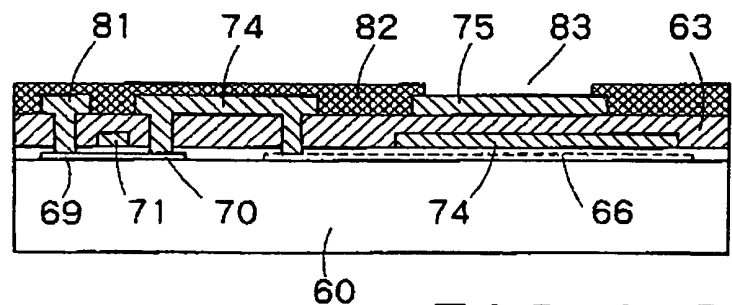
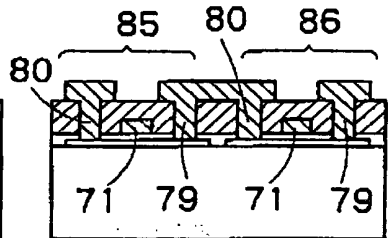
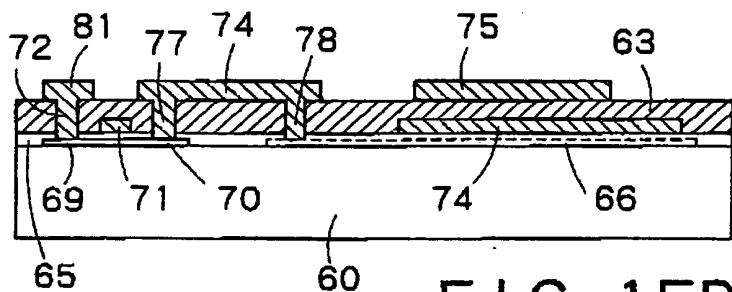
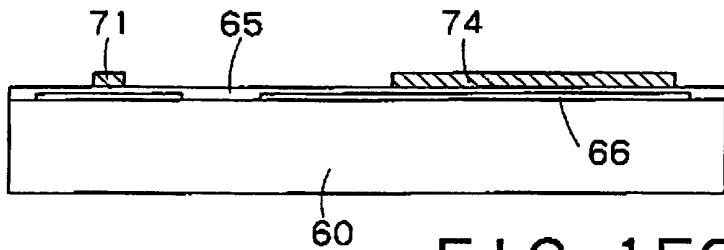
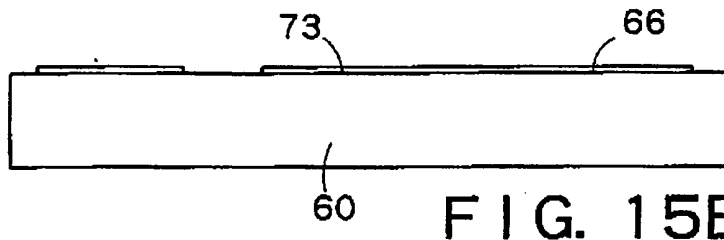
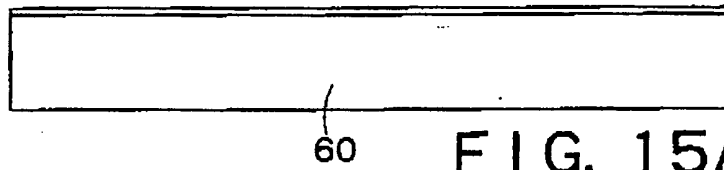


FIG. 15E

002260 9929960